

شبیه‌سازی جریان روزانه حوضه آبریز در شرایط کمبود داده

محمد رضا خزائی^۱

m_r_khazaee@yahoo.com

باقر ذهبیون^۲

پهراام ثقفیان^۳

تاریخ پذیرش: ۸۸/۵/۲

تاریخ دریافت: ۸۷/۱۲/۱۸

چکیده

زمینه و هدف: شبیه‌سازی بارش- رواناب از محورهای اصلی هیدرولوژی علمی و مدیریت محیط زیست است. بنابراین محققان، پیوسته علاقه‌مند به یافتن روش‌های جدید برای این مسئله و اصلاح مدل‌ها یا روش‌های مدل‌سازی موجود هستند.

روش بررسی: در این تحقیق، جریان روزانه رودخانه در خروجی یک حوضه آبریز در جنوب غربی ایران، با استفاده از یک مدل بارش- رواناب پیوسته مفهومی شبیه‌سازی شد. در مواجهه با مشکل کفایت آمار حوضه، با استفاده از یک رهیافت ویژه نسبت به آماده‌سازی متغیرهای مورد نیاز مدل از قبیل جریان رواناب، بارش و تبخیر و تعرق پتانسیل حوضه اقدام شد.

یافته‌ها: در مرحله واسنجی مدل، شاخص بازده برای داده‌های روزانه معادل ۰/۸۰ و ضریب تعیین برابر ۰/۸۲ به دست آمد. در مرحله اعتبارسنجی نیز مقادیر شاخص بازده برابر ۰/۸۲ و ضریب تعیین برابر ۰/۸۳ به دست آمد. ضمن آن که آماره‌های جریان مشاهداتی نیز با تقریب خوب در جریان شبیه‌سازی شده حفظ شد.

بحث و نتیجه گیری: نتایج حاکی از موفقیت این رهیافت برای شبیه‌سازی جریان روزانه با به کارگیری این مدل در شرایط کمبود داده است.

واژه‌های کلیدی: مدل پیوسته، بارش-رواناب، جریان روزانه، ARNO، تبخیر و تعرق پتانسیل.

۱- استادیار، گروه مهندسی عمران، دانشگاه پیام نور، ایران.

۲- استادیار، دانشکده عمران، دانشگاه علم و صنعت ایران

۳- استاد، دانشکده فنی مهندسی، واحد علوم و تحقیقات تهران، دانشگاه آزاد اسلامی

مقدمة

Boughton (۲۰۰۶) به منظور بهبود نتایج مدل های بارش-رواناب در زمانی که کیفیت داده ها خوب نیست، به اصلاح واسنجی ۱۱۰ (۳۳٪ از ۳۳۱ حوضه) حوضه ناموفق مطالعه Chiew و Boughton (۲۰۰۳) پرداخت. وی با به کارگیری روش هایی از جمله اعمال ضریب مقیاس به سری داده های بارش و تبخیر و تعرق و حذف ماهه ای محدود با خطای زیاد از واسنجی، موفق شد ۶۸ حوضه را در حد قابل قبول واسنجی کند. ۷٪ از ۳۳۱ حوضه به علت کمبود اطلاعات واسنجی نشد و در نهایت، ۴٪ حوضه ها به علت کیفیت پایین داده واسنجی نشد. اصلاح داده ها با اعمال ضریب مقیاس به سری داده های بارش حاکی از دشواری اندازه گیری بارش در سطح حوضه های با مساحت چند صد کیلومتر مربع و همچنین مشکل تعیین مکانی بارش (تخمین بارش سطح حوضه) است. این موضوع در خصوص تبخیر و تعرق نیز صادق است. بهبود داده های تبخیر و تعرق، همچنین می تواند به روش تخمین آن مربوط باشد (۲). در این تحقیق، جریان روزانه رودخانه در خروجی حوضه پاتلوه، از زیر حوضه های کارون، با استفاده از یک مدل بارش-رواناب پیوسته مفهومی شبیه سازی شده است. لیکن به علت وجود مشکل کفایت آمار حوضه، توجه ویژه به آماده سازی داده های وردی مدل، معطوف شده است.

مواد ووشها

۱. مدل یارش - رواناب

مود استفاده قارگفته است (۹ و ۱۰).
واقعی سیل و مطالعات اثرات تغییر اقلیم در مناطق مختلف دنیا
تحلیل جریان‌های کم، تحلیل سیل‌های حدی، پیش‌بینی زمان
به صورت گستردگی در مطالعاتی همچون برنامه‌ریزی آب،
ARNO یک مدل پیوسته نیمه توزیعی بارش-رواناب است که
مدل بارش-رواناب مورد استفاده مدل ARNO است.

این مدل دارای دو مؤلفه جدا از هم است: مؤلفه بیلان آبی یا تابع تولید رواناب که تعادل آبی را بین مقدار آب در خاک، ریزش (ورودی آب)، تبخیر و تعرق و رواناب (خروجی

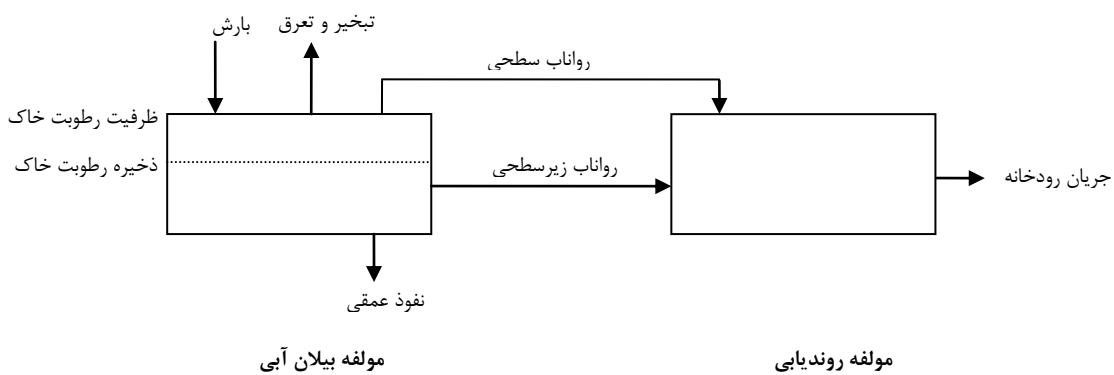
شبیه‌سازی رایانه‌ای بارش- رواناب از اوایل دهه ۱۹۶۰ شروع شده است (۱) و هم اکنون یک فناوری مهم برای مدیریت منابع آب و طراحی هیدرولوژیکی محسوب می‌شود (۲). شبیه‌سازی بارش- رواناب همچنین از محورهای اصلی هیدرولوژی علمی و مدیریت محیط زیست است. بنابراین محققان پیوسته علاقه‌مند به یافتن روش‌های جدید اصلاح مدل‌ها یا روش‌های مدل‌سازی موجود هستند (۳). به عنوان نمونه می‌توان به Croke و همکاران (۲۰۰۶)، Boughton (۲۰۰۷) و Wang (۲۰۰۷) اشاره کرد. هم اکنون مدل‌های مختلفی برای استفاده وجود دارد. در صورت استفاده از داده‌های با کیفیت مناسب، هر یک از مدل‌های پیشرفت‌خوب نتایج خوبی خواهد داد. اما در صورتی که کیفیت داده‌ها مناسب نباشد، هیچ یک از این مدل‌ها نتایج خوبی نمی‌دهند. به عبارت دیگر، نتایج شبیه‌سازی بارش- رواناب، بیشتر از نوع مدل، به کیفیت داده‌های ورودی وابسته است (۴). به عنوان نمونه McMahon و Nathan (۱۹۹۹)، a و b مدل SFB را برای ۱۶۸ حوضه در استرالیا و استنجی^۱ کردند. ایشان مدل را در صورت استفاده از داده‌های با کیفیت، قدرتمند معرفی کردند، اما به علت مشکل کیفیت داده‌های ورودی (بارش و تبخیر و تعرق) در ۳۷٪ از موارد شبیه‌سازی سیار ضعیف و غیر قابل استفاده معرفی شد. همچنین Boughton و Chiew (۲۰۰۳) مدل AWBM را بر داده‌های بارش و روناب ۳۳۱ حوضه در استرالیا و استنجی کردند. در این مورد و استنجی تنها در ۲۲۱ حوضه قابل قبول انجام یافت. ایشان مشکل داده‌ها را علت رضایت بخش نبودن و استنجی در ۳۳٪ از حوضه‌ها گزارش کردند. لذا لازم است در شبیه‌سازی بارش- رواناب به کیفیت داده‌های ورودی مدل بیشتر توجه شود. این موضوع به معنای سرزنش اولیای امور تدارک داده‌ها نیست. بلکه این نشان می‌دهد که به دست آوردن داده‌های ورودی با کیفیت کافی که بتواند بیلان آبی حوضه آبریز را مدل کند، حقدرت مشکل است.

آب) تشریح می کند و مؤلفه روندیابی که انتقال رواناب را به خروجی حوضه مدل می نماید.

مؤلفه اول رابطه بین بارش - رواناب را تعریف می کند.

در اینجا مهمترین مساله مفهوم تشکیل رواناب است که در آن تولید رواناب تا تامین مقدار رطوبت منطقه خاک تا حد ظرفیت مزرعه^۱ آن به تعویق می افتد. نکته مهم در این مدل این است که این مفهوم در حد کوچکترین مساحت حوضه یا سطح جزء^۲ اعمال می گردد. توزیع مکانی ظرفیت اشیاع خاک به عنوان یک متغیر مکانی در داخل حوضه به توسط یکتابع توزیع تبیین می شود. مؤلفه دوم نیز بیان کننده روشی است که رواناب ایجاد شده را جمع آوری نموده و در طول شبکه های تپه ها به سمت کانال های زهکش و در نهایت از طریق شبکه کانال ها به سمت خروجی حوضه منتقل می نماید.

فرایندهای اصلی که در مدل ARNO در نظر گرفته می شوند عبارتند از: موازنۀ رطوبت خاک، زهکشی به عنوان یکتابع غیر خطی از رطوبت خاک، نفوذ عمقی، تبخیر و تعرق، روندیابی روی سطحی و روند یابی رودخانه. ارتباط شماتیک این فرایندها در شکل ۱ آمده است.



شکل ۱ - نمایش کلی مولفه‌های مدل ARNO

واسنجی^۱ برآورد شوند. این مدل در گام زمانی روزانه شبیه‌سازی می‌کند. داده‌های مورد نیاز مدل، داده‌های اقلیمی بارش روزانه، تبخیر و تعرق پتانسیل و مشخصات حوضه از جمله مساحت، کاربری اراضی و شیب متوسط است. داده‌های جریان روزانه رودخانه نیز در خروجی حوضه برای واسنجی مدل مورد نیاز است. همچنین، باید دوره زمانی سری‌های جریان با داده‌های اقلیمی مطابقت داشته باشد.

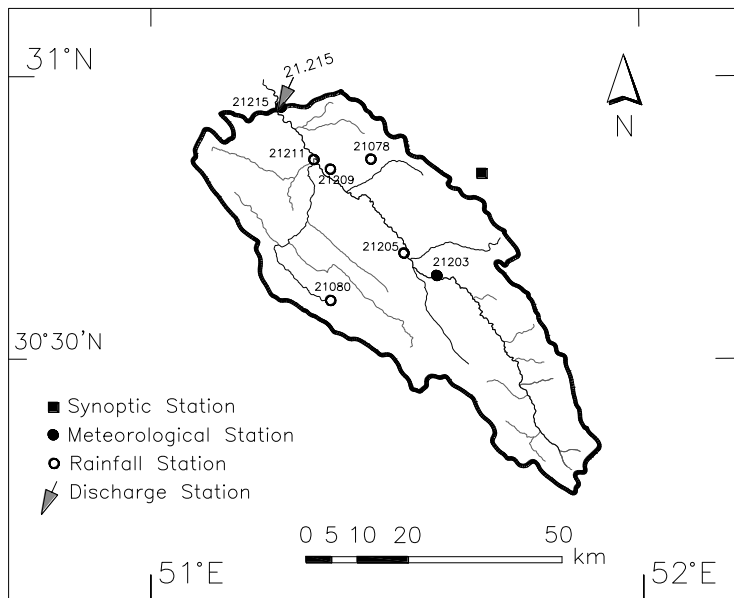
فرضیات مبنای مؤلفه تعادل رطوبت خاک در این مدل به شرح زیر است:

- بارندگی که به خاک وارد می‌شود به صورت یکنواخت بر سطح حوضه در نظر گرفته می‌شود.
 - حوضه از عناصر نامحدودی تشکیل شده است که برای هر کدام می‌توان موازنۀ جرمی را نوشت.
 - تمام بارندگی که بر سطح حوضه نازل می‌شود در حوضه نفوذ می‌کند به غیر از نواحی نفوذ ناپذیر و نواحی که اشباع شده است. نسبت نواحی اشباع شده در هر زمان توسط یکتابع توزیع مکانی معلوم می‌شود. اینتابع، دینامیک مشارکت نواحی را در تولید روابط سطحی تشریح می‌نماید.
 - روابط حوضه از انتگرال مکانی روابط مساحت‌های جزئی حوضه به دست می‌آید.
 - ذخیره رطوبت خاک با تبخیر و تعرق، جریان زیر سطحی تأخیری (زهکشی) که به شبکه زهکشی رودخانه می‌ریزد، و نفوذ عمیق به لایه‌های زیرین تخلیه می‌شود.
 - زهکشی و نفوذ عمیق توسط روابط ساده تجربی تشریح می‌شوند.
- مؤلفه تعادل رطوبت خاک ARNO دارای ۸ پارامتر است که باید برای استفاده در هر حوضه خاص ابتدا از طریق

۲- حوضه تحقیق

حوضه مورد مطالعه، حوضه رودخانه بشار از سرشاخه‌های رودخانه کارون در محل ایستگاه پاتاوه است. این حوضه در محدوده جغرافیایی ۳۱° تا ۵۱° طول شرقی و ۳۰° تا ۳۱° عرض شمالی در جنوب غربی ایران واقع است. مساحت حوضه ۲۸۰۰ کیلومتر مربع و ارتفاع متوسط آن ۲۲۷۷ متر از سطح دریا است. موقعیت جغرافیایی و ایستگاه‌های اندازه گیری حوضه در شکل ۲ ارایه شده است.

برای آماده‌سازی مدل بارش- روابط لازم است از داده‌های با کیفیت مناسب استفاده شود. وجود خطا در داده‌های اقلیمی ورودی مدل می‌تواند از عوامل مهم خطا در پارامترهای تخمینی مدل و جریان شبیه‌سازی شده باشد. در این مطالعه قبل از تخمین پارامترهای مدل و شبیه‌سازی جریان، توجه ویژه به بررسی و آماده‌سازی داده‌های ورودی مدل معطوف شد.



شکل ۲ - موقعیت حوضه تا ایستگاههای آب‌سنجدی و هواشناسی موجود.

۳- بارش

سنجدش کیفیت داده‌های بارش ایستگاه تبخیرسنجدی یاسوج، از داده‌های ایستگاه سینوپتیک یاسوج، در سال های آماری مشترک استفاده شد. بارش ایستگاه تبخیرسنجدی یاسوج همبستگی مناسبی با بارش ایستگاه سینوپتیک یاسوج دارد.

۴- تبخیر و تعرق پتانسیل

آمار اقلیمی حوضه پاتاوه تنها مربوط به دو ایستگاه تبخیرسنجدی یاسوج (۲۱-۲۰۳) و ایستگاه سینوپتیک یاسوج است. این دو ایستگاه از موقعیت جغرافیایی و تراز ارتفاعی نزدیک به هم و شرایط اقلیمی مشابه برخوردارند. مشخصات این دو ایستگاه در جدول ۱ با هم مقایسه شده است.

ایستگاههای باران‌سنجدی و هواشناسی حوضه و نواحی اطراف حوضه برای تخمین بارش حوضه در شکل ۲ نشان داده شده است. برای شبیه‌سازی بهتر جریان رودخانه، باید از داده‌های معتبر بارش که نماینده کل حوضه باشد، استفاده شود. روش های مختلفی برای تخمین بارندگی در سطح حوضه با استفاده از داده‌های ایستگاهی وجود دارد. به علت توزیع مکانی نامناسب ایستگاهها در حوضه پاتاوه، استفاده از روش های درون‌بایی، نتایج مناسبی را به دنبال ندارد. این موضوع در واسنجی مدل نیز مورد آزمون قرار گرفت. روش هایی که از همبستگی بارش و ارتفاع استفاده می‌کنند نیز مورد بررسی قرار گرفت. با وجود آن که در این حوضه بارش ماهانه و سالانه همبستگی زیادی به ارتفاع دارد، بارش روزانه همبستگی قابل توجهی به ارتفاع ندارد ($R^2 \approx 0.44$). در بسیاری از مطالعات دیگر نیز همبستگی کم بارش روزانه به ارتفاع ذکر شده است (۱۱).

لذا بارش ایستگاه تبخیرسنجدی یاسوج (۲۱-۲۰۳)، که از نظر جغرافیایی و رقومی موقعیت نزدیکتری به مرکز ثقل حوضه دارد، مبنای شبیه‌سازی بارش- روناب قرار گرفت. در این ایستگاه بارش سال های ۱۳۵۱-۸۰ در دسترس است. در این دوره میانگین بارش ایستگاه ۸۶۵ میلی متر در سال است. برای

جدول ۱- مشخصات ایستگاه‌های هواشناسی حوضه پاتاوه

* میانگین دمای سالانه (°C)	* میانگین بارش سالانه (mm)	طول جغرافیایی	عرض جغرافیایی	ارتفاع (متر)	
۱۴/۶	۸۴۵	۵۱°، ۴۱'	۳۰°، ۵۰'	۱۸۳۱	ایستگاه سینوپتیک- یاسوج
۱۵/۲	۸۲۵	۵۱°، ۳۶'	۳۰°، ۳۹'	۱۸۲۱	ایستگاه تبخیرسنگی- یاسوج

* میانگین دما و بارش، مربوط به دوره آماری مشترک ۱۳۶۵-۸۰ است.

تعرق بر مبنای دما تعیین شد و تابع تبدیل مقادیر آن به مقادیر پنمن- مانتیس به دست آمد. سپس با استفاده از روش برگزیده و تابع تبدیل بالا، مقادیر تبخیر و تعرق معادل ایستگاه ۲۰۳-۲۱ برای ۲۹ سال بر مبنای دما محاسبه و به مقادیر معادل پنمن- مانتیس تبدیل شد.

از روش‌های برآورد تبخیر و تعرق بر مبنای دما، روش‌های بلانی- کریدل (۱۴)، تورنت وايت (۱۵) و هارگریوز- سامانی (۱۶) انتخاب شدند. در این دسته از روش‌ها، روش‌های بلانی- کریدل و تورنت وايت به صورت گسترده‌ای مورد استفاده قرار می‌گیرند (۱۷)؛ ضمن آن که روش بلانی- کریدل در نشریه FAO-24 به عنوان روش استاندارد، در شرایطی که تنها داده‌های دما موجود است و امکان واسنجی روش وجود ندارد، معرفی شده است (۱۸). روش هارگریوز- سامانی نیز در نشریه FAO-56 به عنوان جایگزینی برای روش فائق پنمن- مانتیس (با واسنجی در منطقه) در چنین شرایطی معرفی شده است. نتایج این روش‌ها با روش پنمن- مانتیس برای ۱۷ سال (۲۰۴ ماه) آمار ایستگاه سینوپتیک یاسوج در جدول ۲ مقایسه شده است. بر این مبنای روش هارگریوز- سامانی بیشترین همبستگی را با روش پنمن- مانتیس نشان می‌دهد.

در ایستگاه سینوپتیک ۱۷ سال آمار سال‌های ۱۹۸۷ تا ۲۰۰۳ در دسترس است و در ایستگاه تبخیرسنگی ۲۹ سال آمار بارش، تبخیر از تشک و دمای حداقل، میانگین و حداکثر در سال‌های ۱۳۵۱-۸۰ در دسترس می‌باشد.

رابطه پنمن- مانتیس به عنوان بهترین رابطه برای برآورد تبخیر و تعرق پتانسیل معرفی شده است (۱۲ و ۱۳). لیکن این رابطه به داده‌های اقلیمی زیادی نیاز دارد. با توجه به آمار موجود، می‌توان تبخیر و تعرق پتانسیل را برای ۱۷ سال به روش فائق پنمن- مانتیس محاسبه کرد. همچنین می‌توان با استفاده از روش‌های بر مبنای دما، تبخیر و تعرق پتانسیل را برای ۲۹ سال محاسبه کرد. مزیت روش اول دقت محاسبه است و مشکل آن کوتاه بودن طول دوره و موقعیت مکانی ایستگاه است. روش دوم با مشکل اطمینان به دقت داده‌های محاسباتی مواجه است، لیکن از طول آماری مناسب برخوردار می‌باشد.

در مواجهه با این مشکل، تبخیر و تعرق پتانسیل با استفاده از روش‌های مختلف بر مبنای دما، و روش پنمن- مانتیس برای ۱۷ سال آمار موجود ایستگاه سینوپتیک محاسبه شد. سپس از مقایسه همبستگی نتایج روش‌های مختلف بر مبنای دما با روش فائق پنمن- مانتیس، روش تولید تبخیر و

جدول ۲- مقایسه تبخیر و تعرق محاسباتی روش‌های بر مبنای دما با روش فائق پنمن- مانتیس برای دوره ۲۰۰۳-۱۹۸۷ در

ایستگاه سینوپتیک یاسوج

روش	بخیر و تعرق پتانسیل متوسط (mm/year)
پنمن- مانتیس	ضریب تعیین (R^2) با روش فائق پنمن- مانتیس در مقیاس ماهانه

۱۳۷۳، ۱۳۷۴-۷۵، ۱۳۷۵-۷۶، ۱۳۷۷-۷۸، ۱۳۸۰-۸۱، برای واسنجی و اعتبارسنجی مدل استفاده شد. ۵ سال اول، سال های واسنجی و ۴ سال دوم سال های اعتبارسنجی مدل است. در این دوره میانگین جریان ایستگاه $53/7$ متر مکعب بر ثانیه است و با تغییرات میانگین سالانه $23/2$ تا $85/3$ مکعب بر ثانیه، سال های کم آبی و پرآبی را در بر می‌گیرد. این در حالی است که مراجع استفاده از حداقل ۲ تا ۳ سال داده برای واسنجی مدل را کافی می‌دانند^(۹).

با استفاده از رابطه بین مقادیر تبخیر و تعرق دو روش هارگریوز- سامانی و فائو پنمن- مانتیس در ایستگاه سینوپتیک یاسوج (رابطه زیر)، مقادیر تبخیر و تعرق معادل روش فائو پنمن- مانتیس از مقادیر روش هارگریوز- سامانی در محل ایستگاه تبخیرسنجی $21-20^3$ تولید شد.

$$ET_{O_{P-M}} = 0.3827 \times ET_{O_{H-S}} - 0.0535 \quad (1)$$

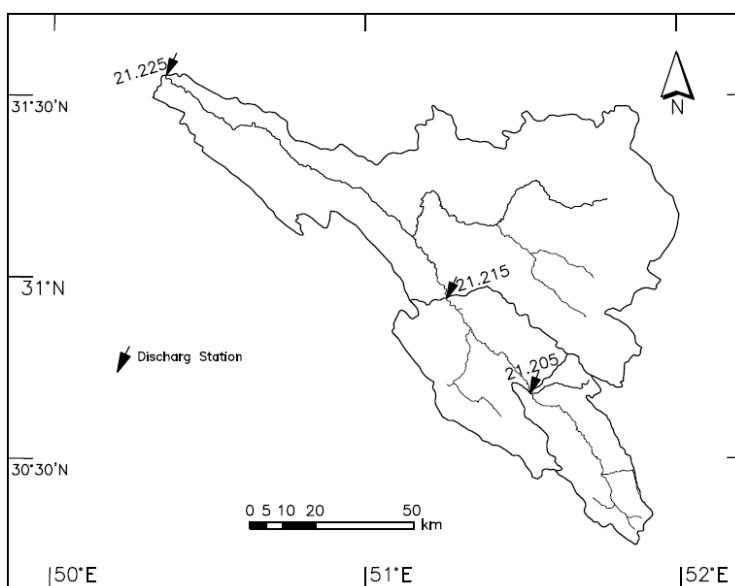
در رابطه بالا، $ET_{O_{P-M}}$ ، تبخیر و تعرق گیاه مرجع معادل روش پنمن- مانتیس و $ET_{O_{H-S}}$ تبخیر و تعرق محاسباتی به روش هارگریوز- سامانی به میلی متر در روز است. مقدار متوسط سالانه نتایج برای دوره $1365-80$ ، برای 1380 میلی متر و برای دوره $1352-80$ برای 1388 است.

۵.۲. داده های جریان رودخانه

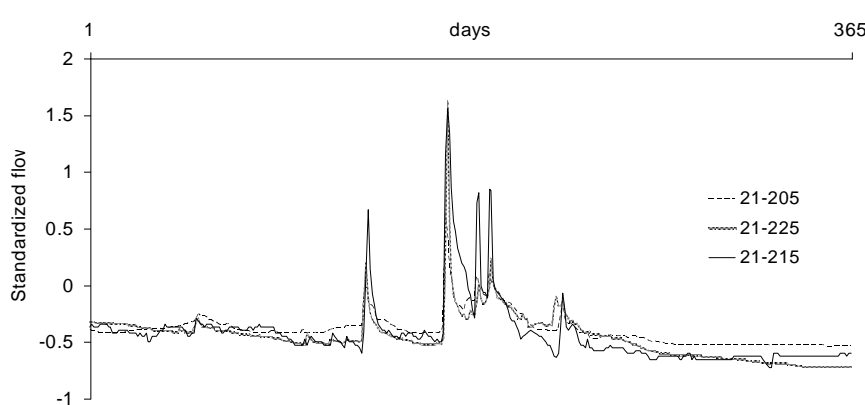
آمار جریان روزانه ایستگاه پاتاوه برای سال های $1352-80$ در دسترس است. در این دوره میانگین جریان ایستگاه $52/5$ متر مکعب بر ثانیه و تغییرات میانگین سالانه آن از $18/5$ تا $106/5$ مکعب بر ثانیه است. برای بررسی کیفیت داده های جریان این ایستگاه، از داده های ایستگاه های آب سنجی شاه مختار -205 - 21 و بارز $(21-225)$ استفاده شد. این ایستگاه ها به ترتیب در بالادست و پایین دست ایستگاه پاتاوه واقعند. موقعیت این ایستگاه ها و حوضه های آن ها در شکل 3 نشان داده شده است. همچنین مشخصات فیزیوگرافی این حوضه ها در جدول 3 ارایه شده است. از مقایسه گرافیکی سری های استاندارد شده جریان روزانه، مقایسه مقادیر سالانه استاندارد شده، تعیین ضریب همبستگی داده های روزانه ایستگاه مورد نظر با ایستگاه های شاهد در هر سال و حذف سال های با آمار مفقود، سال های با آمار مطمئن برای واسنجی و اعتبارسنجی^(۱) مدل شناسایی شد. شکل های 4 و 5 نمونه هایی از مقایسه سری جریان استاندارد شده ایستگاه مورد مطالعه با ایستگاه های بالادست و پایین دست را به ترتیب برای یک سال با آمار قابل تردید و یک سال با آمار قابل اطمینان نشان می دهند. به این ترتیب، از آمار 9 - 74 ، $1364-65$ ، $1362-63$ ، $1360-61$ ، $1358-59$ سال آبی

جدول ۳- مشخصات فیزیوگرافی حوضه پاتاوه و حوضه‌های آبریز مبنا برای بررسی کیفیت آمار جویان

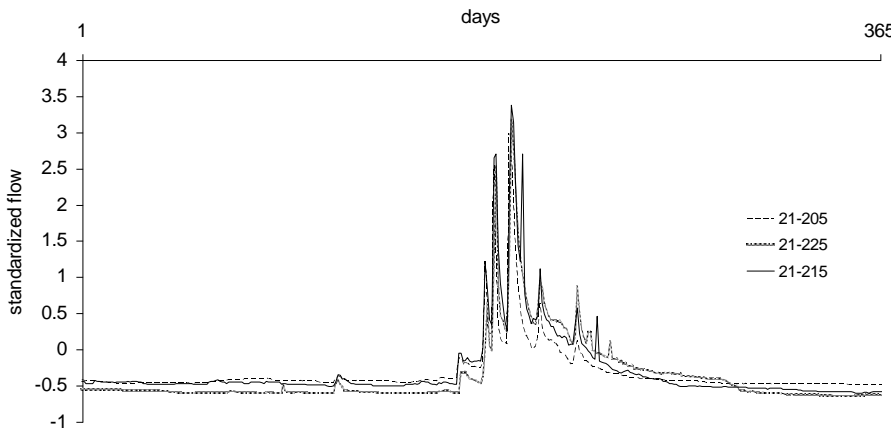
نام حوضه	کد ایستگاه	مساحت (km^2)	طول رودخانه (km)	ارتفاع متوسط (m)	شیب رودخانه (%)	شیب حوضه (%)	محیط حوضه (km)
پاتاوه	۲۱-۲۱۵	۲۸۰۰	۱۲۷	۲۲۷۷	۰.۶	۲۰	۳۱۱
شاه مختار	۲۱-۲۰۵	۱۱۸۷	۸۵	۲۳۷۶	۱	۱۸/۱	۲۷۳
بارز	۲۱-۲۲۵	۸۹۰۰	۲۵۳	۲۳۰۶	۰/۵۴	۱۹	۷۱۰



شکل ۳ - موقعیت ایستگاه‌های آب‌سنگی و حوضه‌های شاه مختار (۲۱-۲۰۵) و بارز (۲۱-۲۲۵) نسبت به ایستگاه و حوضه پاتاوه (۲۱-۲۱۵)



شکل ۴ - مقایسه جریان اندازه گیری استاندارد شده ایستگاه ۲۱-۲۱۵ با ایستگاه‌های ۲۱-۲۰۵ و ۲۱-۲۲۵ در سال آبی ۱۳۷۲-۷۳ (به عنوان نمونه‌ای از سال‌های با جریان ثبت شده مشکوک)



شکل ۵ – مقایسه جریان اندازه گیری استاندارد شده ایستگاه ۲۱-۲۱۵ با ایستگاه های ۲۱-۲۰۵ و ۲۱-۲۲۵

در سال آبی ۱۳۷۵-۷۶ (به عنوان نمونه سال های با جریان ثبت شده قابل اطمینان)

آمده در مرحله واسنجی، با استفاده از داده های مشاهداتی که در مرحله واسنجی مورد استفاده قرار نگرفته است، سنجیده می شود. در صورت شبیه سازی قابل قبول، مدل برای کاربرد آماده است (۱۹).

در مراجع گزینه های زیادی برای تابع هدف مدل های بارش- رواناب پیشنهاد شده است. تابع هدف انتخابی، مقدار پارامترها و عملکرد مدل را تحت تأثیر قرار می دهد و در هر مورد شبیه سازی، یک تصمیم شخصی است (۱۰). در میان توابع هدف مدل های بارش- رواناب، شاخص بازده (۲۰) توسط محققان زیادی مورد استفاده قرار گرفته است. این معیار حالتی استاندارد شده از تابع حداقل مربعات خطاهاست. Servat و Dezetter (۱۹۹۱) پنج تابع هدف مختلف را برای واسنجی یک مدل بارش رواناب به کار برند و شاخص بازده را بهترین معیار معرفی کردند. Rao و Han (۱۹۸۷) در واسنجی یک مدل بارش- رواناب شهری، چندین تابع هدف را تحلیل کردند و معیار حداقل مربعات را بهترین تابع هدف یافتند. شاخص بازده به صورت زیر تعریف می شود.

$$Eff = 1 - \frac{\sum_{i=1}^n (Q_{obs_i} - Q_{sim_i})^2}{\sum_{i=1}^n (Q_{obs_i} - \bar{Q}_{obs})^2} \quad (2)$$

که در آن Q_{obs_i} جریان مشاهداتی در روز i ، Q_{sim_i} جریان شبیه سازی شده در روز i و \bar{Q}_{obs} میانگین جریان

۶- برآورد پارامترهای مدل

مهم ترین پارامترهای مدل ARNO مربوط به مؤلفه تعادل رطوبت خاک است که اغلب برای هر حوضه از طریق واسنجی به دست می آیند. این پارامترها عبارتند از: Wmax (ظرفیت متوسط ذخیره رطوبت در خاک به b (mm)، b (ضریب شکل در منحنی سطح اشباع، که میان درجه همگنی مشخصات خاک است)، Dmax (بیشینه زهکشی که در موقعی که خاک اشباع است به وقوع می پیوندد به mm)، SOL (پارامتر آستانه ای رطوبت خاک در فرایند زهکشی)، D1 (نسبتی از حد اکثر زهکشی در حالتی که مقدار رطوبت خاک در یک حد آستانه ای است)، CESP (توان در رابطه زهکشی)، SOL1 (مقدار آستانه ای رطوبت خاک در فرایند نفوذ عمقی) و PERC (بیشینه نفوذ عمقی که در حالت اشباع خاک اتفاق می افتد). برای واسنجی مدل قسمتی از داده های اقلیمی و آبی مشاهداتی مورد استفاده قرار می گیرد. به این ترتیب پس از ورود داده های اقلیمی به مدل، جریان شبیه سازی شده با جریان مشاهداتی رودخانه مقایسه می گردد. در این مرحله مقادیر پارامترها به روشنی هدفمند آن قدر تغییر داده می شود که جریان شبیه سازی شده تا حد مطلوب به جریان مشاهداتی نزدیک گردد. اجرای مدل هنگامی موافقیت آمیز تلقی می شود که مقدار تابع هدف به عنوان معیار اندازه گیری کارایی مدل، بهینه شود. پس از واسنجی، اعتبار مدل با پارامترهای به دست

که در آن $(V_{sim})_i$ و $(V_{obs})_i$ به ترتیب حجم جریان شبیه‌سازی شده و مشاهداتی در سال i ، و Eff_i شاخص بازده برای سال i ، و n تعداد سال‌های واسنجی است. در این تحقیق از ۵ سال داده برای برآورد پارامترهای مدل و از ۴ سال داده برای تست مدل استفاده شد.

نتایج

در مرحله واسنجی مدل ARNO برای حوضه پاتاوه، شاخص بازده برای داده‌های روزانه معادل 0.80 و ضریب تعیین برابر 0.82 به دست آمد. در مرحله اعتبارسنجی نیز مقادیر شاخص بازده برابر 0.82 و ضریب تعیین برابر 0.83 به دست آمد. مقادیر این شاخص‌ها در هر دو مرحله واسنجی و اعتبارسنجی، به مقادیر ایده‌آل آنها به میزان قابل توجهی نزدیک است. ضمن آن که آماره‌های جریان مشاهداتی (شامل میانگین (\bar{Q})، انحراف معیار (Sd)، و چولگی ($Skew$) جریان روزانه) که به طور مستقیم در تابع هدف وارد نشده است نیز به خوبی در جریان شبیه‌سازی شده حفظ شده است (جدول ۴).

مشاهداتی دوره شبیه‌سازی است. تغییرات این معیار از -50 تا $+1$ بوده و هر چه شبیه‌سازی بهتر انجام گرفته باشد، مقدار آن به یک نزدیک‌تر است. مقدار صفر برای شاخص بازده به این معنی است که شبیه‌سازی بهتر از مقدار میانگین داده‌های مشاهداتی رواناب نیست.

Loukas و همکاران (۲۰۰۲) برای شبیه‌سازی بهتر حجم‌ها، تابع هدف زیر را به کار برندند.

$$EOPT = Eff - \left| 1 - \frac{V_{sim}}{V_{obs}} \right| \quad (3)$$

در این تحقیق مشاهده شد با استفاده از تابع هدف بالا، جریان‌های پیک سال‌های خشک خوب شبیه‌سازی نمی‌شوند، زیرا این تابع با به کارگیری توان دوم خطاهای، وزن بیشتری به شبیه‌سازی ترسالی‌ها می‌دهد. لذا برای خوب مدل شدن همه سال‌ها اعم از خشک و تر، و نیز برای شبیه‌سازی بهتر حجم‌ها، تابع هدف به صورت زیر تعریف شده است.

$$Obj.Fun = \sum_{i=1}^n EOPT_i \quad (4)$$

جدول ۴- نتایج واسنجی و اعتبارسنجی مدل ARNO برای شبیه‌سازی جریان روزانه حوضه پاتاوه

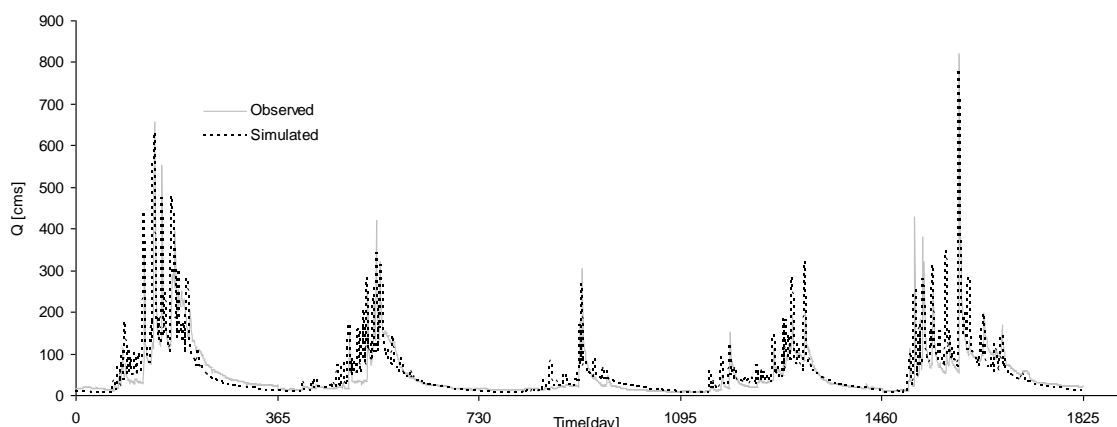
	Eff	R^2	$\bar{Q}_{obs} [m^3/s]$	$\bar{Q}_{sim} [m^3/s]$	Sd_{obs}	Sd_{sim}	$Skew_{obs}$	$Skew_{sim}$
Calibration	0.80	0.82	50.5	50.5	62.9	67.3	4.1	3.8
Validation	0.82	0.83	58.2	55.3	79.9	83.1	3.7	4.0

در کانادا با استفاده از ۲۰ سال داده مشاهداتی واسنجی کردند. در این مطالعه شاخص بازده 0.93 به دست آمد. Zhang و Savenije (۲۰۰۵) با استفاده از مدل REWASH جریان Savenije یک حوضه در بلژیک را شبیه‌سازی کردند. در مرحله واسنجی و اعتبارسنجی با استفاده از ۲ دوره ۲ ساله انجام و شاخص بازده Smedt و Shafii به ترتیب 0.68 و 0.65 به دست آمد. Smedt و Shafii (۲۰۰۹) در واسنجی مدل WetSpa برای یک حوضه در اسلواکی، مقادیر شاخص بازده را برای دوره‌های ۵ ساله واسنجی و اعتبارسنجی، به ترتیب 0.75 و 0.70 به دست آورند.

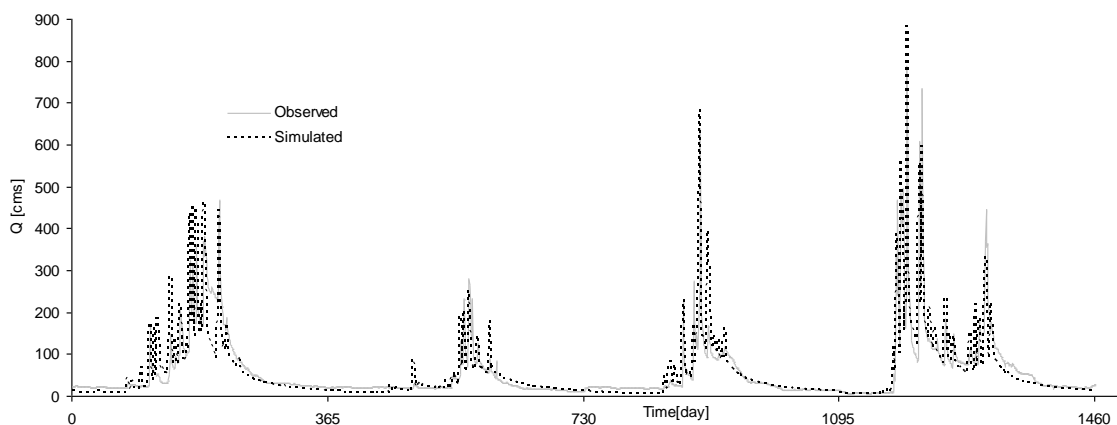
در مقایسه با دیگر مطالعات شبیه‌سازی بارش- رواناب روزانه، Zhang و Savenije (۲۰۰۵)، معیار شبیه‌سازی خوب را شاخص بازده بزرگ‌تر از 0.6 برگزیدند. در حالی که Kamali و همکاران (۲۰۰۷) در واسنجی مدل هیدرولوژیکی روزانه WATCLASS برای حوضه رودخانه Smokey در کانادا، مقادیر شاخص بازده بزرگ‌تر از 0.7 را قبل قبول دانستند. Schreider و Evans (۲۰۰۲) در شبیه‌سازی جریان روزانه 6 حوضه در استرالیا با استفاده از مدل بارش- رواناب CMD-IHACRES از 4 سال داده مشاهداتی برای واسنجی استفاده کردند و شاخص بازده را بین 0.67 تا 0.78 به دست آورند. Loukas و همکاران (۲۰۰۴) مدل UBC را برای یک حوضه

شده است. همچنین نمودار ۷ نتیجه آزمایش مدل را نشان می‌دهد.

از دیگر معیارهای عملکرد مدل، توافق چشمی بین مقادیر مشاهداتی و شبیه‌سازی است (۲۳). در نمودار ۶ جریان شبیه‌سازی شده با جریان مشاهداتی در مرحله واسنجی مقایسه



شکل ۶ - نتایج واسنجی مدل ARNO برای شبیه‌سازی جریان روزانه حوضه پاتاوه



شکل ۷ - نتایج اعتبارسنجی مدل ARNO برای شبیه‌سازی جریان روزانه حوضه پاتاوه

نتیجه گیری

روش پنمن- مانتیس، از رابطه همبستگی مناسب یک روش بر مبنای دما و روش پنمن- مانتیس در یک ایستگاه سینوپتیک مجاور حوضه، با خصوصیات اقلیمی مشابه، استفاده شد. سپس با بسط این رابطه به ایستگاه تبخیرسنجی حوضه، داده‌های تبخیر و تعرق پتانسیل معادل پنمن- مانتیس برای حوضه، از داده‌های دما تولید شد. به علت توزیع مکانی نامناسب ایستگاه‌های باران‌سنجی حوضه، استفاده از روش‌های معمول میانگین‌گیری بارش حوضه موثر نبود و آمار یک ایستگاه نزدیک به مرکز ثقل حوضه به عنوان بارش حوضه منظور شد. در

در این تحقیق با استفاده از مدل بارش- رواناب مفهومی ARNO جریان روزانه آب حوضه پاتاوه، از زیر حوضه‌های کارون، شبیه‌سازی شد. ۸ پارامتر این مدل از طریق واسنجی، با استفاده از داده‌های مشاهداتی حوضه به دست آمد. در این مقاله با تأکید بر کیفیت داده‌های لازم برای تخمین پارامترها و شبیه‌سازی رواناب، توجه ویژه به آماده‌سازی داده‌های ورودی مدل معطوف شد. در این خصوص با توجه به آن که اطلاعات هواشناسی داخلی حوضه محدود به یک ایستگاه تبخیرسنجی است، برای تولید داده‌های تبخیر و تعرق پتانسیل حوضه به

- using rainfall forecasts, a simple loss module and unit hydrographs: Two Brazilian catchments. *Environmental Modelling & Software*, 22, 1229-1239.
4. Croke, B.F.W., Andrews, F., Jakeman, A.J., Cuddy, S.M., Luddy, A., (2006), IHACRES Classic Plus: a redesign of the IHACRES rainfall-runoff model. *Environmental Modelling and Software*, 21, 426-427.
 5. Lin, G.F., Wang, C. M., (2007), A nonlinear rainfall-runoff model embedded with an automated calibration method – Part 2: The automated calibration method., *Journal of Hydrology*, 341, 196– 206.
 6. Nathan, R.J., McMahon, T.A., (1990a), The SFB model part I-validation of fixed model parameters. *Civil Engineering Transactions CE32* (3), 157-161 (Institution of Engineers, Australia).
 7. Nathan, R.J., McMahon, T.A., (1990b), The SFB model part II-operational considerations. *Civil Engineering Transactions CE32* (3), 162e166 (Institution of Engineers, Australia).
 8. Boughton, W., Chiew, F., (2003), Calibrations of the AWBM for Use on Ungauged Catchments. Technical Report 03/15. CRC for Catchment Hydrology, Monash University, 37 pp.
 9. Todini, E., (1996), The ARNO rainfall-runoff model. *Journal of Hydrol*, 175: 339-382.
 10. Abdulla, F.A., Lettenmaier, D.P., Liang, Xu, (1999), Estimation of the ARNO model baseflow parameters using daily streamflow data. *Journal of Hydrology*, 222: 37–54.

شبیه‌سازی بارش- رواناب، معمولاً برای برآورد پارامترها و ارزیابی مدل، تنها داده‌های رواناب کل حوضه در دسترس است. وجود خطأ در داده‌های مشاهداتی منجر به انحراف پارامترهای برآورده شده و خطأ در شبیه‌سازی می‌شود. لذا با هدف استفاده از داده‌های معتبرتر، آمار مشاهداتی ایستگاه‌های حوضه با آمار ایستگاه‌های مجاور مقایسه شد و تنها از سال‌های با آمار مطمئن در تخمین پارامترهای مدل استفاده شد. بر این مبنای ۵ سال داده‌های مشاهداتی حوضه برای تخمین پارامترهای مدل و از ۴ سال داده‌های مشاهداتی برای اعتبارسنجی مدل استفاده شد. مراجع استفاده از حداقل ۲ تا ۳ سال داده برای واسنجی مدل را کافی می‌دانند.

در مرحله واسنجی مدل، شاخص بازده برای داده‌های روزانه معادل ۰/۸۰ و ضریب تعیین برابر ۰/۸۲ به دست آمد. در مرحله اعتبارسنجی نیز شاخص بازده برابر ۰/۸۲ و ضریب تعیین برابر ۰/۸۳ به دست آمد. در مراجع اغلب مقدار شاخص بازده بزرگتر از ۰/۶ مبنای شبیه‌سازی خوب بارش رواناب در مقیاس روزانه قرار می‌گیرد. در بعضی مراجع نیز به صورت سخت‌گیرانه مقدار ۰/۷ مبنای قرار گرفته است. در این تحقیق ضمن دستیابی به شاخص بازده بزرگ‌تر از ۰/۸، آمارهای جریان مشاهداتی نیز با تقریب خوب در جریان شبیه‌سازی شده حفظ شد. این نتایج حاکی از موفقیت روش در شبیه‌سازی جریان روزانه حوضه پاتاوه در شرایط ناکافی بودن آمار است.

منابع

1. Boughton, W.C., (2005), Catchment water balance modelling in Australia 1960-2004. *Agricultural Water Management*, 71 (2), 91-116.
2. Boughton, W., (2006), Calibrations of a daily rainfall-runoff model with poor quality data. *Environmental Modelling and Software*, 21, 1114-1128.
3. Littlewood, I.G., Clarke, R.T., Collischonn, W., Croke, B.F.W., (2007), Predicting daily streamflow

20. Nash JE, Sutcliffe JV (1970), River flow forecasting through conceptual models. Part I. A discussion on principles. *J Hydrol* 10:282–290.
21. Servat, E., and Dezetter, A., (1991), Selection of calibration objective functions in the context of rainfall-runoff modeling in a Sudanese savannah area. *Hydrol. Sci. J.*, 36(4/8), 307–330.
22. Rao, A. R., and Han, J. (1987), Analysis of objective functions used in urban runoff models. *Adv. Water Resour.*, 10, 205–211.
23. Loukas, A., Vasiliades, L., Dalezios, N. R., (2002), Potential Climate change on flood Producing mechanisms in southern British Columbia, Canada using the CGCMA1 simulation results. *Journal of Hydrology*, 259, 163-188.
24. Zhang, G. P. and Savenije, H. H. G., (2005), Rainfall-runoff modelling in a catchment with a complex groundwater flow system: application of the Representative Elementary Watershed (REW) approach. *Hydrology and Earth System Sciences*, 9, 243–261.
25. Kamali, M., Ponambalam, K., and Soulis, E. D., (2007), Computationally efficient calibration of WATCLASS Hydrologic models using surrogate optimization. *Hydrol. Earth Syst. Sci. Discuss.*, 4, 2307–2321.
26. Evans, J and Schreider, S., (2002), Hydrological impacts of climate change on inflows to Perth, Australia. *Climatic Change*, 55, 361–393.
27. Loukas, A., Vasiliades, L., Dalezios, N., R., (2004), Climate change implication on flood response of a
11. Carrera-Hernández, J.J., Gaskin, S.J., (2007), Spatio temporal analysis of daily precipitation and temperature in the Basin of Mexico. *Journal of Hydrology*, 336, 231– 249.
۱۲. خیرابی، ج.، (۱۳۸۱)، بررسی و مقایسه تطبیقی روش پنمن- مانتیس با روش فائو ۲۴ در ایران. انتشارات کمیته ملی آبیاری و زهکشی ایران.
13. Allen, R. G., Pereira, L. S., Raes, D., and Smith, M. (1998), Crop evapotranspiration guidelines for computing crop water requirements. FAO Irrigation and Drainage Paper 56, Rome.
14. Blaney, H.F. and Criddle, W.D. (1950), Determining water requirements in irrigated areas from climatological and irrigation data, USDA Soil Conserv. Serv. SCS-TP96. 44 pp.
15. Thornthwaite, C.W., (1948), An approach toward a rational classification of climate. *Geograph. Rev.*, 38, 55-94.
16. Hargreaves, G.H., Samani, Z.A., (1985), Reference crop evapotranspiration from temperature. *Appl. Eng. Agric.* 1 (2), 96–99.
17. Serrano, S. E., (1997), *Hydrology for Engineers, Geologists and Environmental professionals*. Hydroscievce Inc., 101-103.
18. Doorenbos, J. and Pruitt, W. O., (1977), *Crop water requirements*. Irrigation and Drainage Paper No. 24, (rev.) FAO, Rome, Italy. 144 p.
19. Reynard, N.S., (2003), Impact of climate change on flood flows in river catchments. Interim report for Defra / EA, R&D Technical Report W5-032/TR, 49pp.

- (WetSpa) using a genetic algorithm," *Hydrol. Earth Syst. Sci. Discuss.*, 6, 243–271.
- mountainous watershed. *Water, Air, and Soil Pollution: Focus* 4, 331–347.
28. Shafii, M., Smedt, F., D., (2009) "Multi-objective calibration of a distributed hydrological model